

00-728 Warszawa e-mail: Laboratorium@networks.pl



AB 419

S P R A W O Z D A N I E 4752/2023/OS Z POMIARÓW PÓL ELEKTROMAGNETYCZNYCH WYKONANYCH DLA POTRZEB OCHRONY ŚRODOWISKA

Badany obiekt: Instalacja radiokomunikacyjna Orange Polska S.A.

Numer i nazwa: 1371 (77047N!) LOTNISKO (PWR_WROCLAW_LOTNISKO) Adres: WROCŁAW, DESANTOWA 2, Powiat m. Wrocław, WOJ. DOLNOŚLĄSKIE

Data wykonania pomiarów: 2023-06-07

Sprawozdanie z badań bez pisemnej zgody laboratorium nie może być powielane inaczej niż w całości. Wynik przedstawione w niniejszym sprawozdaniu odnoszą się wyłącznie do badanego obiektu i do warunków i konfiguracji urządzeń w dniu wykonywania pomiarów.

Formularz F-13 Wydanie 26 Sprawozdanie: Ochrona środowiska Obowiązuje od dnia 14-06-2022 Strona/Stron: 1/9

1. Właściciel badanego obiektu:

Orange Polska S.A., Al. Jerozolimskie 160, 02-326 Warszawa

2. Zleceniodawca:

Orange Polska S.A., Al. Jerozolimskie 160, 02-326 Warszawa

3. Przedstawiciel zleceniodawcy:

NetWorkS! Sp.z o.o.

4. Zakres zlecenia:

Wykonanie badania i opracowanie sprawozdania z pomiarów natężenia pola elektrycznego i pola magnetycznego dla instalacji radiokomunikacyjnej Orange Polska S.A. zlokalizowanej w miejscowości WROCŁAW, DESANTOWA 2.

5. Cel zlecenia:

Wykonanie pomiarów pól elektomagnetycznych w otoczeniu instalacji radiokomunikacyjnej 1371 (77047N!) LOTNISKO (PWR_WROCLAW_LOTNISKO) w odniesieniu do wymagań określonych w Rozporządzeniu Ministra Klimatu z dnia 17 lutego 2020 r. w sprawie sposobów sprawdzania dotrzymania dopuszczalnych poziomów pól elektromagnetycznych w środowisku (Dz.U. 2022 poz. 2630).

6. Pomiary zostały wykonane przez:

Ciesielski Daniel Grzegorzewski Jan

7. Informacje o źródłach pól elektromagnetycznych

7.1. Sposób identyfikacji badanych źródeł pól elektromagnetycznych

Identyfikacji źródeł i parametrów technicznych dokonano na podstawie analizy dokumentacji dotyczącej zlecenia oraz obserwacji miejsca wykonywania badań.

7.2. Opis miejsca zainstalowania anten i urządzeń technicznych. Opis obiektu badań i jego otoczenia

Instalacja radiokomunikacyjna zlokalizowana jest na terenie ogrodzonym. Anteny zawieszono na wieży kratowej. Urządzenia sterujące oraz zasilające zainstalowano w szafie outdoor u podstawy wieży. Wokół instalacji znajduje się miasto.

Instalacja radiokomunikacyjna jest obiektem bezobsługowym. Okresowe stanowiska pracy związane są z prowadzonymi w zależności od potrzeb konserwacjami, przeglądami, strojeniem i naprawami.

Sprawozdanie z badań bez pisemnej zgody laboratorium nie może być powielane inaczej niż w całości. Wynik przedstawione w niniejszym sprawozdaniu odnoszą się wyłącznie do badanego obiektu i do warunków i konfiguracji urządzeń w dniu wykonywania pomiarów.

7.3. Parametry techniczne źródła pola elektromagnetycznego

Dane przedstawiające maksymalne parametry pracy instalacji przekazane przez zleceniodawcę:

Parametry systemu nadawczo-odbiorczego:

| C | harakterystyka promienio | | | | <u> </u> | kieru | nkowa | | | | | |
|-----|--|------------------------|------------------------|-----------------|---------------|---------------------------|---|--|--|--|--|--|
| R: | zeczywisty czas pracy [h/ | 'dobę] | | 24 | | | | | | | | |
| | Warunki pracy | | znamionowe | | | | | | | | | |
| | Rodzaj wytwarzanego p | ola | | stacjonarne | | | | | | | | |
| Lp. | Częstotliwość lub zakresy częstotliwości pracy [MHz] | | | liczba anten | Azymut [°] | kąt pochylenia* [º] | Wysokość środka elektrycznego anteny [m n.p.t] | Równoważna moc promieniowana izotropowo (EIRP) [W] | | | | |
| 1 | 900/1800/2100 | | 8R6v06 wei | 1 | 31 | 6/6/6 | 30 | 8857 | | | | |
| 2 | 800/2600 | | 8R6v06 wei | 1 | 31 | 7/6 | 30 | 9999 | | | | |
| 3 | 900/1800/2100 | | 8R6v06 wei | 1 | 150 | 6/5/5 | 30 | 8857 | | | | |
| 4 | 800/2600 | | ATR4518R6v06 Huawei | | 150 | 8/5 | 30 | 9999 | | | | |
| 5 | 900/1800/2100 | ATR4518R6v06 Huawei | | 1 | 268 | 5/5/5 | 30 | 8857 | | | | |
| 6 | 800/2600 | | 8R6v06 iwei | 1 | 268 | 6/5 | 30 | 9999 | | | | |

^{*} wskazane wartości kąta pochylenia anten, zgodnie z informacją uzyskaną od zleceniodawcy, są wartościami stałymi

Parametry radiolinii:

| | rarametry raus | | | | | | | | | |
|------|---|------------------------------|---------|-----------------------------------|-------------------|---------------------------|---------------|---|--|--|
| Char | akterystyka promiei | niowania | | kierunkowa | | | | | | |
| Rzec | zywisty czas pracy [| [h/dobę] | | | 24 | | | | | |
| Warı | ınki pracy | | | | | znamionow | е | | | |
| Rodz | aj wytwarzanego po | ola | | | stacjonarne | | | | | |
| | | Linia radiowa | a | | Antena | | | | | |
| Lp. | Typ/ Producent | Częstotliwość pracy [GHz] | promier | ażna moc niowana (EIRP) [W] | Typ/ producent | Średnica anteny [m] | Azymut [°] | Wysokość zainstalowania n.p.t [m] | | |
| 1. | RTN 380AX DC 70/80GHz 250MHz Huawei | 80 | 17 | 79 | A80D03 Huawei | 0.3 | 111 | 28 | | |

7.4 Inne źródła pól elektromagnetycznych

Na podstawie informacji otrzymanych od użytkownika oraz obserwacji otoczenia miejsca wykonywania pomiarów nie stwierdzono występowania innych źródeł pola-EM

8. Opis pomiarów

8.1. Metoda badań

Zgodna z rozporządzeniem Ministra Klimatu z dnia 17 lutego 2020 r. w sprawie sposobów sprawdzania dotrzymania dopuszczalnych poziomów pól elektromagnetycznych w środowisku (Dz.U. 2022 poz. 2630), określona w pkt 25 ppkt 1 załącznika do niniejszego rozporządzenia.

Zgodnie z art. 122a ust. 1b ustawy Prawo Ochrony Środowiska, w przypadku wprowadzenia na części albo całym terytorium Rzeczypospolitej Polskiej stanu nadzwyczajnego, o którym mowa w art. 228 ust. 1 Konstytucji Rzeczypospolitej Polskiej z dnia 2 kwietnia 1997 r. (Dz. U. poz. 483, z 2001 r. poz. 319, z 2006 r. poz. 1471 oraz z 2009 r. poz. 946), lub stanu zagrożenia epidemicznego lub stanu epidemii, o których mowa w art. 46 ustawy z dnia 5 grudnia 2008 r. o

Sprawozdanie z badań bez pisemnej zgody laboratorium nie może być powielane inaczej niż w całości. Wynik przedstawione w niniejszym sprawozdaniu odnoszą się wyłącznie do badanego obiektu i do warunków i konfiguracji urządzeń w dniu wykonywania pomiarów.

zapobieganiu oraz zwalczaniu zakażeń i chorób zakaźnych u ludzi (Dz. U. 2022, poz. 1657), pomiarów , nie przeprowadza się w lokalach mieszkalnych oraz w lokalach użytkowych zlokalizowanych na terytorium objętym stanem nadzwyczajnym, stanem zagrożenia epidemicznego lub stanem epidemii.

W związku z obecnie obowiązującym stanem zagrożenia epidemicznego, pomiarów nie wykonano w lokalach mieszkalnych oraz w lokalach użytkowych zlokalizowanych w obszarze pomiarowym przedmiotowej instalacji radiokomunikacyjnej.

8.2. Termin pomiarów i warunki środowiskowe

Podczas wykonywania pomiarów pól elektromagnetycznych nie występowały opady atmosferyczne. Wyniki pomiaru parametrów pogodowych przedstawia poniższa tabela:

| Data | Godzina | | Warunki środowiskowe | | | | | | |
|---------------|---------------|----------------|----------------------|-------------------------|--------------|--|--|--|--|
| [rrrr-mm- dd] | [hh:mm-hh:mm] | Temperati | ura [ºC] | Wilgotność względna [%] | | | | | |
| 2023-06-07 | 14:10-15:30 | Przed pomiarem | Po pomiarach | Przed pomiarem | Po pomiarach | | | | |
| | 14:10-15:30 | 23.9 | 23.9 | 38.9 | 38.7 | | | | |

Przedstawione wyżej warunki środowiskowe, występujące podczas wykonywania pomiarów pól elektromagnetycznych, są zgodne ze specyfikacją techniczną użytego zestawu pomiarowego.

8.3. Warunki pracy urządzeń nadawczych

Podczas pomiarów w przypadku uzyskania wyniku pomiaru szerokopasmowego wykonanego zastosowaną metodą, dla zakresów częstotliwości od 10 MHz do 300 GHz, powiększonego o rozszerzoną niepewność pomiaru U dla współczynnika rozszerzenia k = 2 <u>przekraczającego</u> 70% najniższej dopuszczalnej wartości składowej elektrycznej lub magnetycznej pola dla objętych pomiarami zakresów częstotliwości, uwzględnia się poprawki pomiarowe przekazane przez zleceniodawcę, umożliwiające uwzględnienie maksymalnych parametrów pracy instalacji zgodnie z pkt 7 załącznika do Rozporządzeniem Ministra Klimatu z dnia 17 lutego 2020 r. w sposobów sprawdzania dotrzymania dopuszczalnych sprawie elektromagnetycznych w środowisku (Dz. U. 2022, poz. 2630) zaznaczając, że wymagane jest wykonanie pomiaru z wykorzystaniem miernika selektywnego. W przypadku uzyskania wyniku pomiaru szerokopasmowego wykonanego zastosowaną metodą, dla zakresów częstotliwości od 10 MHz do 300 GHz, powiększonego o rozszerzoną niepewność pomiaru U dla współczynnika rozszerzenia k = 2 <u>nieprzekraczającego</u> 70% najniższej dopuszczalnej wartości składowej elektrycznej lub magnetycznej pola dla objętych pomiarami zakresów częstotliwości, nie uwzględnia się poprawek pomiarowych.

8.4. Wyposażenie pomiarowe

Zestaw pomiarowy służący do pomiaru natężenia składowej elektrycznej pola elektromagnetycznego złożony z szerokopasmowego miernika i sondy pomiarowej:

| Oznaczeni e miernika | Producent | Model | Numer fabryczny | Oznaczeni e sondy | Producent | Model | Numer fabryczny |
|----------------------------|-----------------|--|--------------------|----------------------|-----------------|--------------------|--------------------|
| MW-04 | Wavecontr ol | Miernik pól elektromagnetyczny ch SMP2 | 22SN195 3 | SW-07 | Wavecontr ol | Sonda WPF6 0 | 22WP23019 3 |

Mierniki natężenia pola elektromagnetycznego podlegają okresowemu sprawdzeniu zgodnie z procedurą wewnętrzną P-03 i PB-01. Świadectwo wzorcowania zestawu pomiarowego z dnia 10 maja 2023 o numerze LWiMP/W/172/23 wydane przez Politechnika Wrocławska.

Data ważności świadectwa wzorcowania: 10 maja 2025 (zgodnie z procedurą wewnętrzną P-03).

| Oznaczeni e miernika | Producent | Model | Numer fabryczny | Oznaczeni e sondy | Producent | Model | Numer fabryczny |
|----------------------------|-----------------|--|--------------------|----------------------|-----------------|--------------------------|--------------------|
| MW-04 | Wavecontr ol | Miernik pól elektromagnetyczny ch SMP2 | 22SN195 3 | SW-08 | Wavecontr ol | Sond a WPF3 -HP | 22WP03043 0 |

Mierniki natężenia pola elektromagnetycznego podlegają okresowemu sprawdzeniu zgodnie z procedurą wewnętrzną P-03 i PB-01. Świadectwo wzorcowania zestawu pomiarowego z dnia 10 czerwca 2022 o numerze LWiMP/W/155/22 wydane przez Politechnika Wrocławska.

Data ważności świadectwa wzorcowania: 10 czerwca 2024 (zgodnie z procedurą wewnętrzną P-03).

Sprawozdanie z badań bez pisemnej zgody laboratorium nie może być powielane inaczej niż w całości. Wynik przedstawione w niniejszym sprawozdaniu odnoszą się wyłącznie do badanego obiektu i do warunków i konfiguracji urządzeń w dniu wykonywania pomiarów.

Termohigrometr:

| Oznaczenie: TH-13 P | Producent: | AZ INSTRUMENT CORP | Model: | Termohigrometr AZ8706 |
|---------------------|------------|--------------------|--------|-----------------------|
|---------------------|------------|--------------------|--------|-----------------------|

Data ważności świadectwa wzorcowania: 3 stycznia 2025 (zgodnie z procedurą wewnętrzną P-03).

Dalmierz:

| Oznaczenie | Producent | Тур | Numer seryjny | Nr świadectwa wzorcowania | Data świadectwa wzorcowania |
|------------|-----------|------------------------------|------------------|------------------------------|--------------------------------|
| D-10 | Leica | Dalmierz Leica Disto D510 | 1042956690 | 4609.13-M11-4180- 1748/14 | 9 stycznia 2015 |

Data ważności świadectwa wzorcowania: 9 stycznia 2025 (zgodnie z procedurą wewnętrzną P-03).

Odbiornik GNSS:

| Odbiornik GNSS wbudowany w miernik nateżenia pola | Producent | Model | | |
|---|-----------|---------|--|--|
| elektromagnetycznego użyty podczas pomiarów | UBlox | MAX-M8Q | | |

Odbiorniki podlegają okresowemu sprawdzeniu zgodnie z procedurą wewnętrzną P-03.

9. Wyniki pomiarów

Pole elektryczne

| Nr pionu | Opis umiejscowienia pionu (punktu) pomiarowego | Wysokość pomiaru [m] | [V/m] ^{1,5} | | | Wartość natężenia pola elektrycznego powiększona o niepewność pomiaru ⁴ E | Wskaźnikowa wartość poziomu emisji pól elektromagnetycznych WM _E ³ | Współrzędne geograficzne pionu (punktu) pomiarowego ² |
|-------------|--|----------------------------|----------------------|----------------|-------|---|---|---|
| | | | Sonda SW- 07 | Sonda SW-08 | SUMA | [V/m] | | |
| 1 | GKP w odległości 30m od anteny radioliniowej az. 111°,brama magazynu z motorami | 2.0 | 1.5 | 1.5 | 1.5 | 1.9 | 0.07 | 51°6'21.2" 16°53'52.8" |
| 2 | DPP przed wejściem na zamknięty teren, Desantowa 5 | 0.3-2.0 | <1.0* | <1.0* | <1.0* | 1.3 | 0.05 | 51°6'21.6" 16°53'50.3" |
| 3 | DPP płaszczyzna okna budynku na parterze, Desantowa 6 | 0.3-2.0 | <1.0* | <1.0* | <1.0* | 1.3 | 0.05 | 51°6'20.5" 16°53'50.6" |
| 4 | DPP płaszczyzna okna budynku na parterze, Desantowa 8 | 0.3-2.0 | <1.0* | <1.0* | <1.0* | 1.3 | 0.05 | 51°6'19.8" 16°53'50.3" |
| 5 | DPP brama magazynu | 0.3-2.0 | <1.0* | <1.0* | <1.0* | 1.3 | 0.05 | 51°6'22.0" 16°53'51.4" |
| 6 | DPP brama magazynu | 0.3-2.0 | <1.0* | <1.0* | <1.0* | 1.3 | 0.05 | 51°6'23.0" 16°53'54.2" |
| 7 | DPP płaszczyzna okna budynku magazynowego | 0.3-2.0 | <1.0* | <1.0* | <1.0* | 1.3 | 0.05 | 51°6'24.5" 16°53'54.2" |
| 8 | GKP w odległości 9m od anteny sektorowej az. 31° | 0.3-2.0 | <1.0* | <1.0* | <1.0* | 1.3 | 0.05 | 51°6'22.0" 16°53'51.4" |
| 9 | GKP w odległości 40m od anteny sektorowej az. 31° | 0.3-2.0 | <1.0* | <1.0* | <1.0* | 1.3 | 0.05 | 51°6'22.7" 16°53'52.4" |
| 10 | GKP w odległości 67m od anteny sektorowej az. 31° | 0.3-2.0 | <1.0* | <1.0* | <1.0* | 1.3 | 0.05 | 51°6'23.4" 16°53'53.2" |
| 11 | GKP w odległości 90m od anteny sektorowej az. 31° | 0.3-2.0 | <1.0* | <1.0* | <1.0* | 1.3 | 0.05 | 51°6'24.1" 16°53'53.5" |
| 12 | GKP w odległości 4m od anteny radioliniowej az. 111° | 0.3-2.0 | <1.0* | <1.0* | <1.0* | 1.3 | 0.05 | 51°6'21.6" 16°53'51.4" |
| 13 | GKP w odległości | 0.3-2.0 | <1.0* | <1.0* | <1.0* | 1.3 | 0.05 | 51°6'21.2" |

Sprawozdanie z badań bez pisemnej zgody laboratorium nie może być powielane inaczej niż w całości. Wynik przedstawione w niniejszym sprawozdaniu odnoszą się wyłącznie do badanego obiektu i do warunków i konfiguracji urządzeń w dniu wykonywania pomiarów.

| | 23m od anteny radioliniowej az. 111° | | | | | | | 16°53'52.4" |
|----|--|---------|-------|-------|-------|-----|------|---------------------------|
| 14 | GKP w odległości 6m od anteny sektorowej az. 150° | 0.3-2.0 | <1.0* | <1.0* | <1.0* | 1.3 | 0.05 | 51°6'21.2" 16°53'51.4" |
| 15 | GKP w odległości 34m od anteny sektorowej az. 150° | 0.3-2.0 | <1.0* | <1.0* | <1.0* | 1.3 | 0.05 | 51°6'20.5" 16°53'52.1" |
| 16 | GKP w odległości 66m od anteny sektorowej az. 150° | 0.3-2.0 | <1.0* | <1.0* | <1.0* | 1.3 | 0.05 | 51°6'19.4" 16°53'52.8" |
| 17 | GKP w odległości 121m od anteny sektorowej az. 150° | 0.3-2.0 | <1.0* | <1.0* | <1.0* | 1.3 | 0.05 | 51°6'18.0" 16°53'54.2" |
| 18 | GKP w odległości 12m od anteny sektorowej az. 268° | 0.3-2.0 | <1.0* | <1.0* | <1.0* | 1.3 | 0.05 | 51°6'21.6" 16°53'50.6" |
| 19 | GKP w odległości 83m od anteny sektorowej az. 268° | 0.3-2.0 | <1.0* | <1.0* | <1.0* | 1.3 | 0.05 | 51°6'21.6" 16°53'46.7" |
| 20 | DPP płaszczyzna okna budynku magazynowego | 0.3-2.0 | <1.0* | <1.0* | <1.0* | 1.3 | 0.05 | 51°6'21.6" 16°53'46.7" |
| 21 | PKP na az. 83° w odległości 34m od anteny sektorowej az. 31° | 0.3-2.0 | <1.0* | <1.0* | <1.0* | 1.3 | 0.05 | 51°6'21.6" 16°53'53.2" |
| 22 | PKP na az. 86° w odległości 76m od anteny radioliniowej az. 111° | 0.3-2.0 | <1.0* | <1.0* | <1.0* | 1.3 | 0.05 | 51°6'21.6" 16°53'55.0" |
| 23 | PKP na az. 131° w odległości 75m od anteny radioliniowej az. 111° | 0.3-2.0 | <1.0* | <1.0* | <1.0* | 1.3 | 0.05 | 51°6'19.8" 16°53'54.2" |
| 24 | PKP na az. 171° w odległości 50m od anteny sektorowej az. 150° | 0.3-2.0 | <1.0* | <1.0* | <1.0* | 1.3 | 0.05 | 51°6'19.8" 16°53'51.7" |
| 25 | PKP na az. 7° w odległości 60m od anteny sektorowej az. 31° | 0.3-2.0 | <1.0* | <1.0* | <1.0* | 1.3 | 0.05 | 51°6'23.4" 16°53'51.7" |
| - | GKP w odległości 188m od anteny sektorowej az. 31° | 0.3-2.0 | <1.0* | <1.0* | <1.0* | 1.3 | 0.05 | 51°6'26.6" 16°53'56.4" |
| - | GKP w odległości 174m od anteny sektorowej az. 150° | 0.3-2.0 | <1.0* | <1.0* | <1.0* | 1.3 | 0.05 | 51°6'16.6" 16°53'55.7" |
| - | GKP w odległości 178m od anteny sektorowej az. 268° | 0.3-2.0 | <1.0* | <1.0* | <1.0* | 1.3 | 0.05 | 51°6'21.2" 16°53'42.0" |

Pole magnetyczne (wyznaczone na podstawie pomiaru wartości natężenia pola elektrycznego)

| Nr pionu | I nomiarii | | | ść natężen cycznego H | | Wartość natężenia pola magnetycznego powiększona o niepewność pomiaru ⁴ H | Wskaźnikowa wartość poziomu emisji pól elektromagnetycznych WM _H ³ | Współrzędne geograficzne pionu (punktu) pomiarowego ² |
|-------------|--|---------|----------------|--------------------------|---------|---|---|--|
| | | | Sonda SW-07 | Sonda SW-08 | SUMA | [A/m] | | |
| 1 | GKP w odległości 30m od anteny radioliniowej az. 111°,brama magazynu z motorami | 2.0 | 0.004 | 0.004 | 0.004 | 0.005 | 0.07 | 51°6'21.2" 16°53'52.8" |
| 2 | DPP przed wejściem na zamknięty teren, Desantowa 5 | 0.3-2.0 | <0.003* | <0.003* | <0.003* | 0.003 | 0.05 | 51°6'21.6" 16°53'50.3" |
| 3 | DPP płaszczyzna okna budynku na parterze, Desantowa 6 | 0.3-2.0 | <0.003* | <0.003* | <0.003* | 0.003 | 0.05 | 51°6'20.5" 16°53'50.6" |

Sprawozdanie z badań bez pisemnej zgody laboratorium nie może być powielane inaczej niż w całości. Wynik przedstawione w niniejszym sprawozdaniu odnoszą się wyłącznie do badanego obiektu i do warunków i konfiguracji urządzeń w dniu wykonywania pomiarów.

| | | | 1 | 1 | | | | Т |
|----|---|------------|---------|-----------|---------|-------|--------------------------|---------------------------|
| 4 | DPP płaszczyzna okna budynku na parterze, Desantowa 8 | 0.3-2.0 | <0.003* | <0.003* | <0.003* | 0.003 | 0.05 | 51°6'19.8" 16°53'50.3" |
| 5 | DPP brama magazynu | 0.3-2.0 | <0.003* | <0.003* | <0.003* | 0.003 | 0.05 | 51°6'22.0" 16°53'51.4" |
| 6 | DPP brama magazynu | 0.3-2.0 | <0.003* | <0.003* | <0.003* | 0.003 | 0.05 | 51°6'23.0" 16°53'54.2" |
| 7 | DPP płaszczyzna okna budynku magazynowego | 0.3-2.0 | <0.003* | <0.003* | <0.003* | 0.003 | 0.05 | 51°6'24.5" 16°53'54.2" |
| 8 | GKP w odległości 9m od anteny sektorowej az. 31° | 0.3-2.0 | <0.003* | <0.003* | <0.003* | 0.003 | 0.05 | 51°6'22.0" 16°53'51.4" |
| 9 | GKP w odległości 40m od anteny sektorowej az. 31° | 0.3-2.0 | <0.003* | <0.003* | <0.003* | 0.003 | 0.05 | 51°6'22.7" 16°53'52.4" |
| 10 | GKP w odległości 67m od anteny sektorowej az. 31° | 0.3-2.0 | <0.003* | <0.003* | <0.003* | 0.003 | 0.05 | 51°6'23.4" 16°53'53.2" |
| 11 | GKP w odległości 90m od anteny sektorowej az. 31° | 0.3-2.0 | <0.003* | <0.003* | <0.003* | 0.003 | 0.05 | 51°6'24.1" 16°53'53.5" |
| 12 | GKP w odległości 4m od anteny radioliniowej az. 111° | 0.3-2.0 | <0.003* | <0.003* | <0.003* | 0.003 | 0.05 | 51°6'21.6" 16°53'51.4" |
| 13 | GKP w odległości 23m od anteny radioliniowej az. 111° | 0.3-2.0 | <0.003* | <0.003* | <0.003* | 0.003 | 0.05 | 51°6'21.2" 16°53'52.4" |
| 14 | GKP w odległości 6m od anteny sektorowej az. 150° | 0.3-2.0 | <0.003* | <0.003* | <0.003* | 0.003 | 0.05 | 51°6'21.2" 16°53'51.4" |
| 15 | GKP w odległości 34m od anteny sektorowej az. 150° | 0.3-2.0 | <0.003* | <0.003* | <0.003* | 0.003 | 0.05 | 51°6'20.5" 16°53'52.1" |
| 16 | GKP w odległości 66m od anteny sektorowej az. 150° | 0.3-2.0 | <0.003* | <0.003* | <0.003* | 0.003 | 0.05 | 51°6'19.4" 16°53'52.8" |
| 17 | GKP w odległości 121m od anteny sektorowej az. 150° | 0.3-2.0 | <0.003* | <0.003* | <0.003* | 0.003 | 0.05 | 51°6'18.0" 16°53'54.2" |
| 18 | GKP w odległości 12m od anteny sektorowej az. 268° | 0.3-2.0 | <0.003* | <0.003* | <0.003* | 0.003 | 0.05 | 51°6'21.6" 16°53'50.6" |
| 19 | GKP w odległości 83m od anteny sektorowej az. 268° | 0.3-2.0 | <0.003* | <0.003* | <0.003* | 0.003 | 0.05 | 51°6'21.6" 16°53'46.7" |
| 20 | DPP płaszczyzna okna budynku magazynowego | 0.3-2.0 | <0.003* | <0.003* | <0.003* | 0.003 | 0.05 | 51°6'21.6" 16°53'46.7" |
| 21 | PKP na az. 83° w odległości 34m od anteny sektorowej az. 31° | 0.3-2.0 | <0.003* | <0.003* | <0.003* | 0.003 | 0.05 | 51°6'21.6" 16°53'53.2" |
| 22 | PKP na az. 86° w odległości 76m od anteny radioliniowej az. 111° | 0.3-2.0 | <0.003* | <0.003* | <0.003* | 0.003 | 0.05 | 51°6'21.6" 16°53'55.0" |
| 23 | PKP na az. 131° w odległości 75m od anteny radioliniowej az. 111° | 0.3-2.0 | <0.003* | <0.003* | <0.003* | 0.003 | 0.05 | 51°6'19.8" 16°53'54.2" |
| 24 | PKP na az. 171° w odległości 50m | 0.3-2.0 | <0.003* | <0.003* | <0.003* | 0.003 | 0.05 | 51°6'19.8" 16°53'51.7" |
| | | - badaá ba | | zaody lob | | | elane inaczej niż w cało | |

Sprawozdanie z badań bez pisemnej zgody laboratorium nie może być powielane inaczej niż w całości. Wynik przedstawione w niniejszym sprawozdaniu odnoszą się wyłącznie do badanego obiektu i do warunków i konfiguracji urządzeń w dniu wykonywania pomiarów.

| | od anteny sektorowej az. 150° | | | | | | | |
|----|---|---------|---------|---------|---------|-------|------|---------------------------|
| 25 | PKP na az. 7° w odległości 60m od anteny sektorowej az. 31° | 0.3-2.0 | <0.003* | <0.003* | <0.003* | 0.003 | 0.05 | 51°6'23.4" 16°53'51.7" |
| - | GKP w odległości 188m od anteny sektorowej az. 31° | 0.3-2.0 | <0.003* | <0.003* | <0.003* | 0.003 | 0.05 | 51°6'26.6" 16°53'56.4" |
| - | GKP w odległości 174m od anteny sektorowej az. 150° | 0.3-2.0 | <0.003* | <0.003* | <0.003* | 0.003 | 0.05 | 51°6'16.6" 16°53'55.7" |
| - | GKP w odległości 178m od anteny sektorowej az. 268° | 0.3-2.0 | <0.003* | <0.003* | <0.003* | 0.003 | 0.05 | 51°6'21.2" 16°53'42.0" |

GKP - Główny Kierunek Pomiarowy

DPP - Dodatkowy Pion Pomiarowy

PKP - Pomocniczy Kierunek Pomiarowy

Niepewność oszacowano zgodnie z dokumentem P-03 "Procedura nadzoru nad wyposażeniem" w postaci niepewności rozszerzonej wynikającej z niepewności standardowej pomnożonej przez współczynnik rozszerzenia k=2.

Całkowita szacowana niepewność rozszerzona składowej E wynosi odpowiednio:

sonda SW-07: 28.3% dla częstotliwości do 3 GHz, sonda SW-08: 28.5% dla częstotliwości do 3 GHz

Umiejscowienie pionów (punktów) pomiarowych przedstawiono w załączniku nr 2 do niniejszego sprawozdania.

10. Omówienie wyników pomiarów

W związku z tym, że żadna z wartości zmierzonych, udokumentowanych w tabelach w pkt. 9, uzyskanych w skutek zastosowania pomiaru szerokopasmowego, powiększonego o rozszerzoną niepewność pomiaru U dla współczynnika rozszerzenia k = 2 <u>nie przekroczyła</u> 70% najniższej dopuszczalnej wartości składowej elektrycznej lub magnetycznej pola dla objętych pomiarami zakresów częstotliwości, nie uwzględnia się poprawek pomiarowych.

W wyniku zastosowania sposobu sprawdzenia dotrzymania dopuszczalnych poziomów pól elektromagnetycznych w środowisku, zgodnie pkt 25 ppkt 1 Rozporządzenia Ministra Klimatu z dnia 17 lutego 2020 r. (Dz. U. 2022, poz. 2630), w związku z tym, że żadna z wartości wskaźnikowych, udokumentowanych w tabelach w pkt. 9 nie przekracza wartości 1, stwierdza się, że w miejscach, w których wykonano pomiary w otoczeniu instalacji radiokomunikacyjnej 1371 (77047N!) LOTNISKO (PWR_WROCLAW_LOTNISKO), dopuszczalne poziomy pól elektromagnetycznych w środowisku należy uznać za dotrzymane.

11. Podstawa prawna

- 1) Ustawa z dnia 27 kwietnia 2001 r. Prawo ochrony środowiska (Dz.U. 2022 poz. 2556)
- 2) Rozporządzenie Ministra Zdrowia z dnia 17 grudnia 2019 r. w sprawie dopuszczalnych poziomów pól elektromagnetycznych w środowisku (Dz. U. 2019, poz. 2448)
- 3) Rozporządzenie Ministra Klimatu z dnia 17 lutego 2020 r. w sprawie sposobów sprawdzania dotrzymania dopuszczalnych poziomów pól elektromagnetycznych w środowisku (Dz. U. 2022, poz. 2630),
- 4) Akredytacja nr AB 419 wydana przez Polskie Centrum Akredytacji (wydanie 21, z dnia 11 kwietnia 2023 r.)

Sprawozdanie z badań bez pisemnej zgody laboratorium nie może być powielane inaczej niż w całości. Wynik przedstawione w niniejszym sprawozdaniu odnoszą się wyłącznie do badanego obiektu i do warunków i konfiguracji urządzeń w dniu wykonywania pomiarów.

¹ wyniki oznaczone * są wynikami poniżej czułości zestawu pomiarowego

² współrzędne geograficzne pozyskane metodą pomiaru bezpośredniego

³ do wyznaczenia wartości wskaźnikowej WM_E i WM_H przyjęto na podstawie uzgodnień z klientem oraz rozpoznania źródeł, jako wartości dopuszczalne pola elektrycznego i magnetycznego odpowiednio 28 V/m i 0,073 A/m.

⁴ do wyznaczenia niepewności dla wyników poniżej czułości zestawu pomiarowego, przyjęto niepewność dla minimalnej wartości z zakresu pomiarowego.

⁵ maksymalna wartość chwilowa

12. Spis załączników

Załącznik 1. Lokalizacja obiektu badań

Załącznik 2. Usytuowanie pionów (punktów) pomiarowych

Załącznik 3. Dokumentacja fotograficzna obiektu badań

13. Data wydania i autoryzowania sprawozdania

Obliczenia i sprawozdanie wykonał:

Agnieszka Harbacewicz

Signed by / Podpisano przez:

Date / Data: 2023-06-12 16:00

Sprawozdanie autoryzował:



Signed by / Podpisano przez:

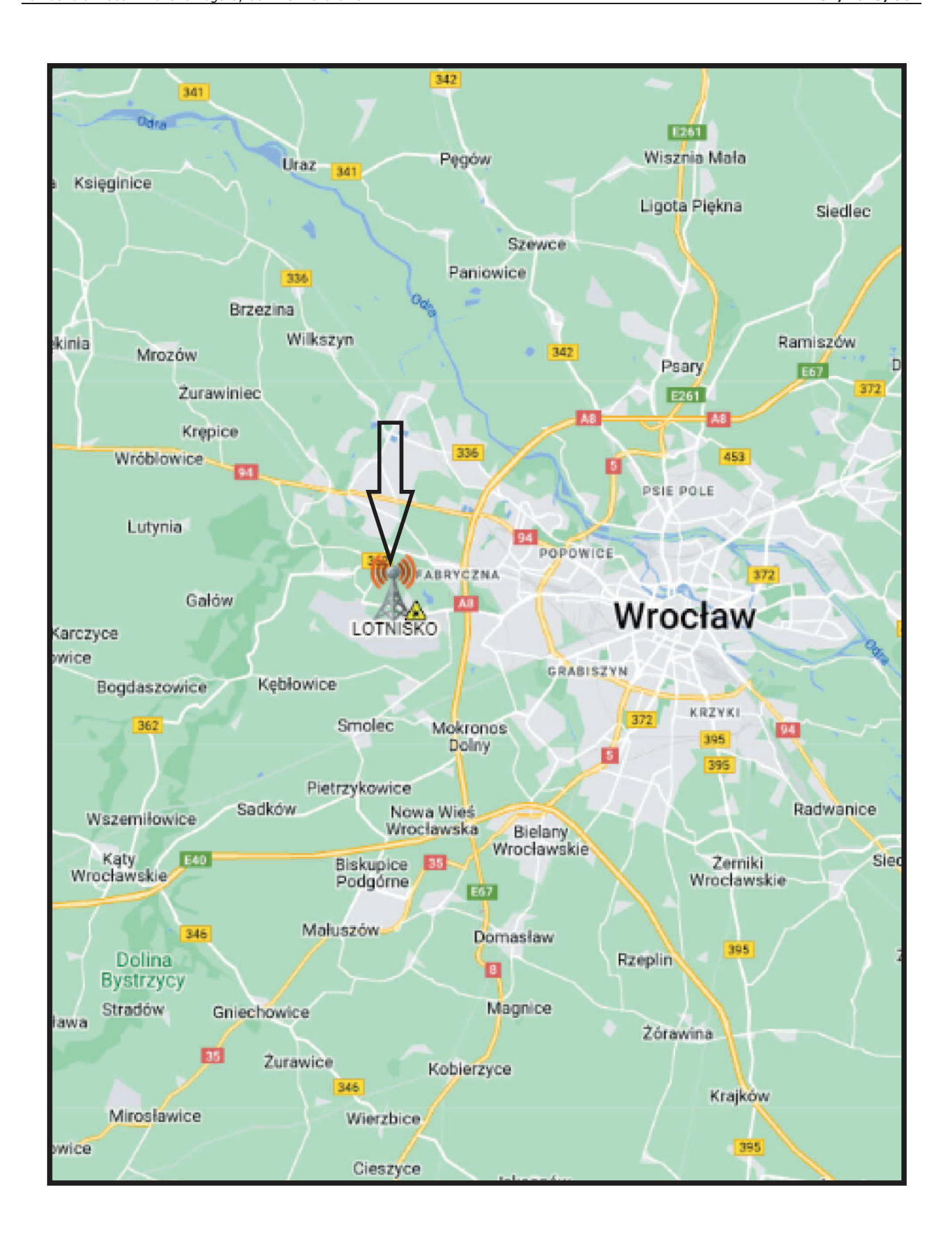
Agnieszka Wachowicz

Date / Data: 2023-06-12 20:48

Koniec sprawozdania

Sprawozdanie z badań bez pisemnej zgody laboratorium nie może być powielane inaczej niż w całości. Wynik przedstawione w niniejszym sprawozdaniu odnoszą się wyłącznie do badanego obiektu i do warunków i konfiguracji urządzeń w dniu wykonywania pomiarów.

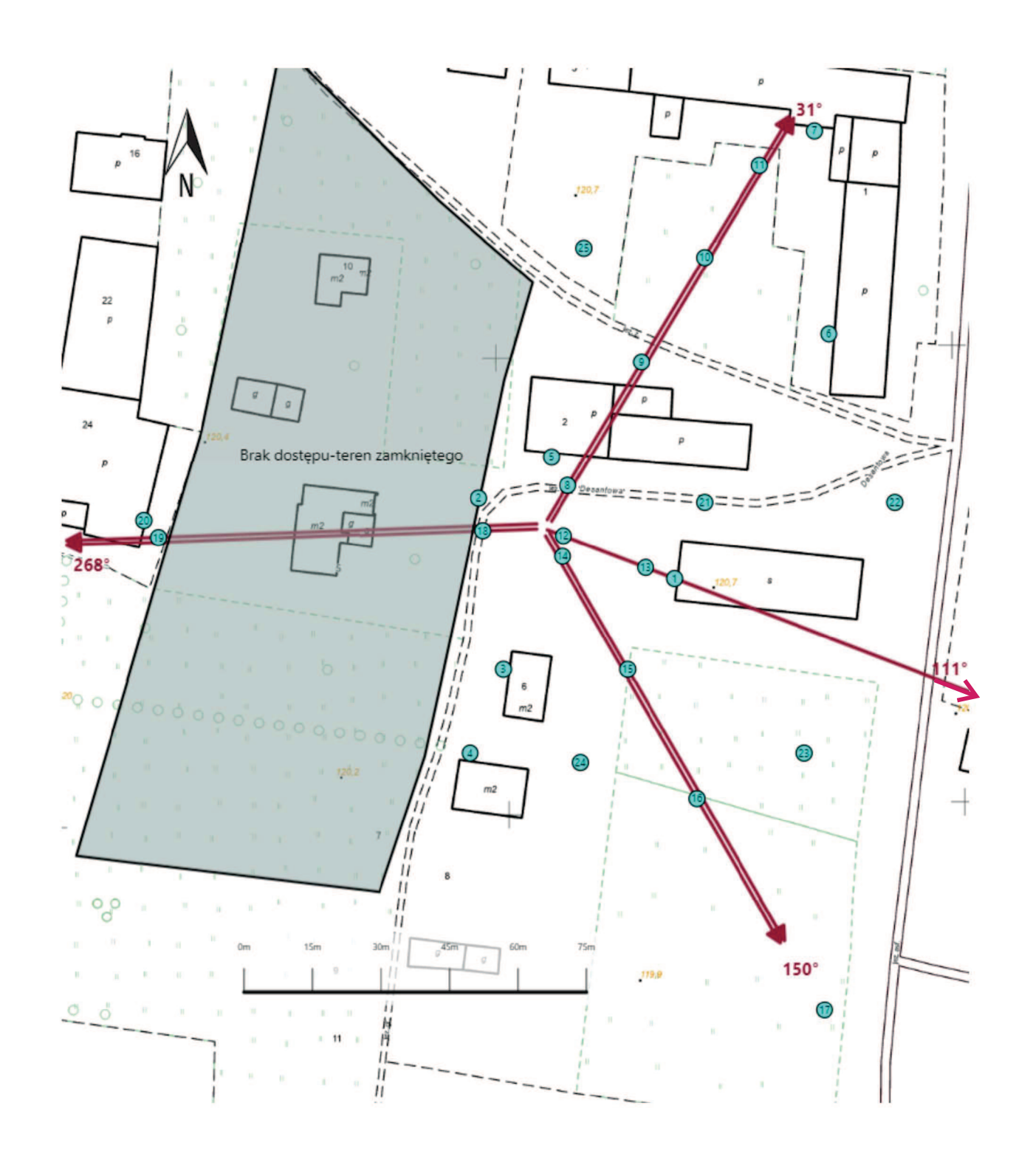
Formularz F-13 Wydanie nr 26 Sprawozdanie: Ochrona środowiska Obowiązuje od dnia 14-06-2022 Strona/Stron: 9/9



Załącznik nr 1

INSTALACJA RADIOKOMUNIKACYJNA Orange Polska S.A. 1371 (77047N!) LOTNISKO (PWR_WROCLAW_LOTNISKO)

Lokalizacja instalacji radiokomunikacyjnej





Sprawozdanie: Ochrona środowiska



Załącznik nr 3

INSTALACJA RADIOKOMUNIKACYJNA Orange Polska S.A. 1371 (77047N!) LOTNISKO (PWR_WROCLAW_LOTNISKO)

Zdjęcia instalacji radiokomunikacyjnej